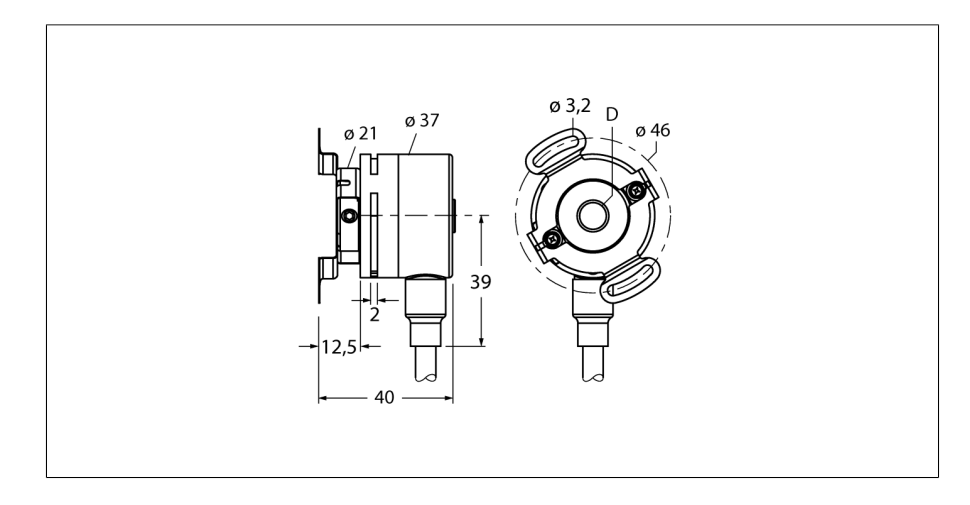


Inkrementaler Drehgeber Industrial-Line RI-09H8E-2F360-C



- Flansch mit Statorkupplung, Ø 36,8mm
- Hohlwelle, Ø 8mm
- Optisches Messprinzip
- Wellenmaterial: rostfreier Stahl
- Schutzart IP 65 wellenseitig
- -20 ... +70°C (Versorgungsspannung > 15 V DC: max. 55°C)
- max. 6000 U / min
- 5...30 VDC
- Kabelanschluss, 8-polig
- Gegentakt mit Invertierung
- Impulsfrequenz max. 250kHz
- 360 Impulse pro Umdrehung

Тур	RI-09H8E-2F360-C
Ident-No.	1544107
Messprinzip	Optisch
Allgemeine Daten	
max. Drehzahl	6000 U/min
Trägheitsmoment des Rotors	1.4 x10 ^s kgm²
Anlaufdrehmoment	< 0.01 Nm
Ausgangsart	Inkremental
Auflösung Inkremental	360 ppr
Elektrische Daten	
Betriebsspannung U _B	530 VDC
Ausgangsstrom	≤ 20 mA
Kurzschlussschutz	ja
Maximale Impulsfrequenz	250 kHz
Signalpegel high	min. U _β - 2 V
Signalpegel low	max. 0.5 V
Ausgangsfunktion	Achtdraht, Push-Pull/HTL, mit Invertierung
Mechanische Daten	
Flanschart	Flansch mit Statorkupplung
Flanschdurchmesser	Ø 46 mm
Wellenart	Sacklochwelle
Wellendurchmesser D (mm)	8 mm
Wellenmaterial	nicht rostender Stahl
Gehäusewerkstoff	Kunststoff
Elektrischer Anschluss	Kabel
	radial
Kabellänge	2 m
Axiale Wellenbelastbarkeit	10 N
Radiale Wellenbelastbarkeit	20 N

WH	GND	
BN	U _B	+
GN	Α	
YE	A inv.	
GY	В	
PK	B inv.	
BU	0	
RD	0 inv.	



Umgebungsbedingungen	
Umgebungstemperatur	-20+70 °C
Schwingungsfestigkeit (EN 60068-2-6)	100 m/s², 102000 Hz
Schockfestigkeit (EN 60068-2-27)	1000 m/s², 6 ms
Schutzart Gehäuse	IP67
Schutzart Welle	IP65



Zubehör

Тур	Ident-Nr.		Maßbild
RME-3	1544614	Statorkupplung aus Edelstahl für Hohlwellendrehgeber, Teil- kreisdurchmesser 46 mm, für Applikationen mit Axial- und Radialspiel bei hoher Dynamik	30 29 29 3,2 3,2 3,2
RME-13	1544624	Befestigungselement aus Kunststoff für Hohlwellendrehgeber, Teilkreisdurchmesser 42 mm, für Applikationen mit begrenztem Axialspiel bei niedriger Dynamik und begrenztem Einbauraum	3,99 1 14 0 2,5
RME-14	1544625	Befestigungselement aus Kunststoff für Hohlwellendrehgeber, Teilkreisdurchmesser 44 mm, 60 mm, 63 mm, 65 mm, für Applikationen mit hohem Axialspiel bei niedriger Dynamik	3,99 14 -31 -31 -34 -34 -34 -34 -34